

## КВАНТОВЫЙ ГАРМОНИЧЕСКИЙ РЕЗОНАНС В КРЕМНИИ

Бобровников Ю. А., Казакова В. М., Фистуль В. И.

При температуре жидкого гелия в условиях  $\hbar\omega/kT \ll 1$  получена полная угловая зависимость гармонических переходов ( $\Delta n > 1$ ) между нижними уровнями Ландау в валентной зоне кремния. Проведено сопоставление полученных данных с квантовой теорией носителей во внешнем магнитном поле, развитой Латинджером для алмазоподобных полупроводников. Рассчитанная угловая зависимость квантовых гармонических и классических линий циклотронного резонанса хорошо согласуется с экспериментом. Значения констант в гамильтониане Латинджера равны  $\gamma_1=4.22$ ,  $\gamma_2=0.53$ ,  $\gamma_3=1.38$ .

*Введение.* В спектре циклотронного резонанса (ЦР) чистых образцов кремния и германия, кроме классических линий легких и тяжелых дырок и их гармоник, наблюдается множество слабых по интенсивности линий квантового ЦР или линий ЦР квантовых дырок. Их происхождение связано с неэквидистантностью уровней Ландау с низким значением квантового числа  $n$ . Переходы между этими уровнями, согласно квантовой теории ЦР Латинджера, чувствительны к деталям энергетической структуры валентной зоны вблизи точки вырождения  $k=0$  [1]. Это позволяет путем сопоставления теории с экспериментом точно определить константы в законе дисперсии валентной зоны, а также оценить пределы применимости самого метода эффективных масс в теории алмазоподобных полупроводников.

Экспериментальное исследование спектра квантовых дырок в кремнии ставится с рядом серьезных трудностей, связанных прежде всего с обилием и малой интенсивностью линий. Большинство этих линий анизотропны и перекрываются с интенсивными классическими линиями, что приводит к трудностям в снятии угловой зависимости спектра. Эти трудности частично устраняются, если эксперимент проводится в квантовых условиях  $\eta=\hbar\omega/kT > 1$ , когда заселенными оказываются нижние уровни Ландау. Однако и в этих условиях спектр все еще остается сложным и плохо разрешенным. Причина этого состоит в близости значений эффективных масс большинства квантовых линий и их относительно большой ширины (по сравнению с германием), что приводит к значительному перекрыванию линий в спектре. С другой стороны, точному определению эффективных масс препятствует « $k_H$ -эффект», возникающий от вклада в орбитальное квантованное движение дырок продольной к магнитному полю составляющей волнового вектора  $k_H$  [2]. Этот эффект приводит к сдвигу и искажению формы линии, причем его влияние для кремния значительно из-за большей плотности уровней Ландау на единичный интервал энергии по сравнению с германием [2, 3]. Подавление вклада  $k_H$  достигается увеличением значения  $\eta$ , т. е. путем понижения температуры и увеличения частоты измерения. Указанные трудности обусловливали практическую невозможность снятия угловой зависимости ни для одного из разрешенных (с  $\Delta n=1$ ) квантовых переходов в кремнии.

Попытки интерпретации квантового спектра были предприняты во многих работах [2–6]. В работе Стиклера и др. [3] были получены угловые зависимости некоторых квантовых переходов лишь для небольших интервалов углов. В работе Оунера-Петерсона и Самуэльсена [4] получены наиболее полные экспериментальные данные по квантовому ЦР в кремнии. Во всех работах по данному

вопросу сопоставление теории с экспериментом проводилось лишь при определенных ориентациях магнитного поля по отношению к кристаллическим осям (обычно при  $H \parallel [111], [100], [110]$ ). Однако для корректного описания спектра этого недостаточно, и поэтому имели место неточности в интерпретации ряда квантовых линий.

Отсутствие достаточно полной экспериментальной угловой зависимости спектра, невысокая точность определения эффективных масс, а также значительные расчетные трудности, по-видимому, привели исследователей к отказу от расчета угловой зависимости квантового спектра, столь необходимого для его интерпретации. К настоящему времени лишь для германия с более простой экспериментальной ситуацией Хенселе и Сузуки удалось получить достаточно полную интерпретацию спектра ЦР с применением методики однородного сжатия кристалла [5].

В данной работе нам удалось экспериментально получить полную угловую зависимость некоторых квантовых гармонических переходов, т. е. переходов с  $\Delta n > 1$ , что позволило провести детальное сопоставление с теорией Латинджера и интерпретировать на основе этой теории большинство линий квантовых дырок в кремнии.

*Экспериментальные результаты.* Для экспериментов по квантовому ЦР необходимы чистые образцы и соблюдение условия  $\eta > 1$ . Выполнение первого условия приводит к достаточно узким линиям, что способствует разрешению спектра. Выполнение второго условия уменьшает число линий квантового ЦР (упрощает спектр), уменьшает интенсивность классических линий, связанных с переходами между эквидистантными уровнями Ландау с большими квантовыми числами, и снижает влияние на спектр  $k_H$ -эффекта.

Для исследований нами были выбраны бездислокационные образцы  $p$ -типа, выращенные методом зонной плавки в особо чистых условиях. Удельное сопротивление образцов составляло  $\rho = 3.5 \cdot 10^4$  Ом·см. Образцы вырезались в виде параллелепипеда  $0.4 \times 0.4 \times 0.5$  см и перед измерениями обрабатывались в полирующем травителе  $3\text{HNO}_3 + \text{HF}$ . Исследования проводились на радиоспектрометре ЭПР SE/X-2543 с частотой 9.2 ГГц в резонаторе с типом колебаний  $TE_{102}$  при температуре жидкого гелия 4.2 К. Через окно в резонаторе осуществлялась подсветка образца белым светом. Образец в резонаторе ориентировался таким образом, чтобы при его вращении магнитное поле оставалось в плоскости (110). Точность определения эффективных масс была не хуже 0.002 для гармонических линий и 0.005 для классических линий. В данной методике образец располагался в пучности магнитного вектора СВЧ волны, а не электрического, как это всегда делается в экспериментах по циклотронному резонансу. Однако незначительная электрическая компонента СВЧ колебаний всегда содержится в центре резонатора, и ее величины достаточно для наблюдения эффекта в силу большей (на 12 порядков) вероятности электрического дипольного перехода по сравнению с магнитодипольным. Использование подобной методики со слабой электрической компонентой СВЧ мощности, падающей на образец, позволяет избежать разогрева носителей СВЧ полем и связанных с ним уширения и искажения линий ЦР. Однако и в этом случае нам не удалось избежать уширения классических линий даже при самых минимальных уровнях СВЧ мощности, достижимых на нашем радиоспектрометре. Это свидетельствует о высокой чистоте исследуемых нами образцов. Другое преимущество данной методики состоит в том, что она позволяет наблюдать разрешенные гармонические переходы с  $\Delta n = 3$ , обязанные продольной к внешнему магнитному полю электрической компоненте СВЧ колебаний. На рис. 1 приведен полученный по данной методике спектр ЦР в ориентации [110]. Некоторые из линий в группе  $h$  отвечают переходам с  $\Delta n = 3$ .

При использованных в наших экспериментах частоте и температуре величина  $\eta = 0.105$ , т. е. квантовые условия ( $\eta > 1$ ) не выполняются. Это приводит к тому, что разрешенные линии с  $\Delta n = 1$  имеют малую амплитуду и искажены  $k_H$ -эффектом. Следы этих линий наблюдаются лишь вблизи ориентаций [100] и [110] (рис. 2). Однако, по-видимому, именно нарушение квантовых условий способствует в данном случае усилиению интенсивности гармонических переходов с  $\Delta n > 1$ , что связано с влиянием  $k_H$ -эффекта на перемешивание уровней

Ландау. Эти гармонические линии квантового ЦР имеют малую ширину (8—15 Э), располагаются в области малых магнитных полей и не перекрываются с интенсивными классическими линиями, что и позволило получить их полную угловую зависимость, представленную на рис. 2.

*Теория и метод расчета.* Для нахождения уровней энергии дырок в валентной зоне в присутствии магнитного поля и переходов между ними следует решить уравнение Шредингера  $D\Psi = E\Psi$ . Теоретические исследования, проведенные в работах [2, 3], показывают, что для гармонических переходов влияние  $k_H$ -эффекта на форму и сдвиг линий несущественно. На это указывает также симметричная форма исследуемых квантовых линий, приведенных на рис. 1. Поэтому в данной работе решение проведено в приближении  $k_H=0$ .

Гамильтониан  $D$  с точностью до членов порядка  $k^2$  и в пренебрежении спин-орбитальным взаимодействием, согласно теории Латинджера, имеет вид

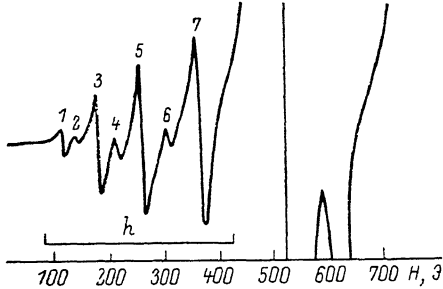


Рис. 1. Спектр линий квантового гармонического резонанса в кремнии.

Нумерация линий в группе  $h$  та же, что и на рис. 2.  $H \parallel [110]$ .

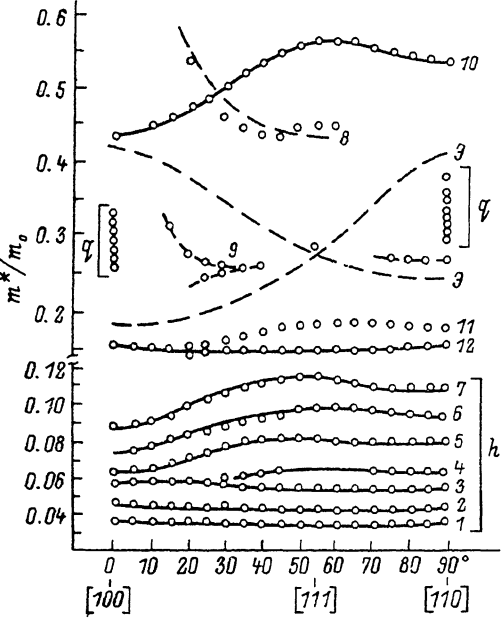


Рис. 2. Угловая зависимость эффективных масс линий ЦР в кремнии.

$h$  — группа линий квантового гармонического резонанса;  $q$  — линии квантового ЦР;  $\mathcal{E}$  — электронные линии; 10 — тяжелая дырка; 12 — легкая дырка; 11 — 3-я гармоника тяжелых дырок; 13 — 2-я гармоника тяжелых дырок. Линии 1—7 в группе  $h$  отвечают следующим переходам на схеме рис. 3: 1:  $(b_1-a_2)$ , 2:  $(a_1-a_3)$ , 3:  $(d_0-d_3)$ , 4:  $(b_1-a_2)$ , 5:  $(b_0-b_3)$ , 6:  $(b_0-c_6)$ , 7:  $(b_0-b_6)$ .

$$D = \frac{\hbar^2}{m_0} \left\{ \left( \gamma_1 + \frac{5}{2} \gamma_2 \right) \frac{k^2}{2} - \gamma_2 (k_x^2 J_x^2 + \text{ци}) - 2\gamma_3 [\{k_x k_y\} \{J_x J_y\} + \text{ци}] + \frac{e}{c} z \mathbf{J} \cdot \mathbf{H} \right\}. \quad (1)$$

Здесь  $k_x, k_y, k_z$  — операторы компонент волнового вектора,  $J_x, J_y, J_z$  — матричные операторы углового момента для  $J=3/2$  размерностью  $4 \times 4$ , их выражения приведены в [1],  $\{k_x k_y\} = (1/2) (k_x k_y + k_y k_x)$  и т. д. — симметризованные произведения соответствующих операторов, ци — циклическая перестановка  $x \rightarrow y \rightarrow z$ .

Гамильтониан (1) содержит четыре параметра —  $\gamma_1, \gamma_2, \gamma_3$  и  $z$ , из которых  $z$  выражается через три остальных соотношением [3]

$$z = (3\gamma_3 + 2\gamma_2 - \gamma_1 - 2)/3. \quad (2)$$

Таким образом, в гамильтониане (1) остаются три независимых параметра —  $\gamma_1, \gamma_2, \gamma_3$ , подлежащих определению путем сопоставления с экспериментальным спектром ЦР. Эта тройка, или «триада» [5], чисел связана с константами  $A, B$  и  $C$  в законе дисперсии валентной зоны

$$E(k) = \frac{\hbar^2}{2m_0} \{A k^2 \pm [B^2 k^4 + C^2 (k_x^2 k_y^2 + \text{ци})]^{1/2}\} \quad (3)$$

соотношениями

$$A = \gamma_1, \quad B = 2\gamma_2, \quad C^2 = 12 (\gamma_3^2 - \gamma_2^2). \quad (4)$$

Константы  $A$ ,  $B$  и  $C$  были ранее определены из экспериментов по классическому ЦР как в германии, так и в кремнии [7]. Линии квантового ЦР, описываемые гамильтонианом (1), чувствительны к значениям параметров триады, что позволяет определить их с большой точностью (например, Хенселеу и Сузуки удалось определить для германия константы триады с точностью 0.02 [6]). Однако точное определение этих констант не является все же главной задачей исследований по квантовому ЦР. Более существенной является оценка пределов применимости теоретической модели, на основе которой построен гамильтониан (1). Поэтому в данной работе мы не ставили целью прецизионное определение констант триады, а стремились лишь дать адекватное описание эксперимента по угловой зависимости спектра с помощью гамильтониана (1), так как эта задача до настоящего времени остается не решенной.

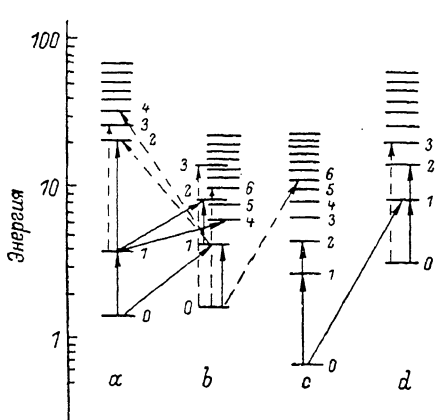


Рис. 3. Уровни Landau и переходы в валентной зоне кремния.

Сплошные стрелки — разрешенные переходы; штриховые — гармонические переходы;  $a$ ,  $d$  — столбцы легких дырок;  $b$ ,  $c$  — столбцы тяжелых дырок.  $\mathbf{H} \parallel [111]$ .

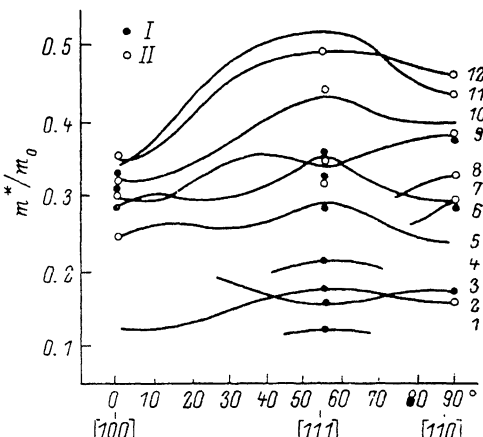


Рис. 4. Рассчитанная угловая зависимость эффективных масс разрешенных переходов в валентной зоне кремния.

Линии 1—12 отвечают следующим переходам на схеме рис. 3: 1 —  $(cv - d1)$ , 2 —  $(da - d1)$ , 3 —  $(d1 - d2)$ , 4 —  $(a1 - b4)$ , 5 —  $(a0 - b1)$ , 6 —  $(b1 - b2)$ , 7 —  $(bd - b1)$ , 8 —  $(b4 - b8)$ , 9 —  $(av - a1)$ , 10 —  $(a1 - b2)$ , 11 —  $(c1 - c2)$ , 12 —  $(c0 - c1)$ . Экспериментальные данные из работ: I — [4], II — [4].

Для численного решения уравнения Шредингера использовался переход к представлению чисел заполнения с помощью операторов рождения  $a^+$  и уничтожения  $a$ . Последние получаются из перестановочных соотношений между операторами компонент волнового вектора  $k_1$  и  $k_2$  (в лабораторной системе координат) в присутствии магнитного поля и имеют вид [1]

$$a = \frac{1}{\alpha \sqrt{2}} (k_1 - ik_2)_*, \quad a^+ = \frac{1}{\alpha \sqrt{2}} (k_1 + ik_2)_*, \quad (5)$$

где  $\alpha = (eH/c)^{1/2}$ . Преобразование гамильтониана (1) с помощью (5) приводит к уравнению Шредингера в виде

$$D^{[4] \times [4]}(a, a^+) \Psi^{[4]} = E \Psi^{[4]}, \quad (6)$$

в котором  $D^{[4] \times [4]}(a, a^+)$  — матричный оператор размерностью  $4 \times 4$ , а волновая функция  $\Psi^{[4]}$  — четырехкомпонентный вектор, столбец, каждая компонента которого выражается в виде линейной комбинации волновых функций гармонического осциллятора [6]. Выполнение указанных в (6) операций приводит далее к бесконечной системе линейных алгебраических уравнений, с которой связана симметричная квадратная матрица бесконечного порядка, являющаяся опера-

тором  $D$  в представлении чисел заполнения. Задача сводится к нахождению собственных значений и собственных векторов усеченной матрицы в этом представлении. Выбор порядка матрицы определяется экспериментальной точностью измерения эффективных масс исследуемых линий. Численный эксперимент показал, что для целей настоящей работы достаточно выбрать порядок матрицы, равный 60. Собственные значения и собственные векторы матрицы (диагонализация) находились методом вращений [8]. Собственные векторы использовались для вычисления интенсивностей разрешенных переходов по методу, изложенному в [3, 5]. Эти вычисления были необходимы для отыскания всех интенсивных разрешенных переходов между нижними уровнями Ландау. Все расчеты проводились на ЭВМ ЕС-1045 с удвоенной точностью. Варьировались параметры триады  $\gamma_1, \gamma_2, \gamma_3$  с шагом 0.02 до наилучшего совпадения рассчитываемых и экспериментальных эффективных масс по всей угловой зависимости спектра. Такое совпадение получено при значениях параметров  $\gamma_1=4.22, \gamma_2=0.53, \gamma_3=1.38$ .

На рис. 3 представлена рассчитанная схема уровней Ландау в ориентации [111]. Решение приводит к четырем столбцам собственных значений в соответствии с размерностью оператора  $D^{[4 \times 4]}(a, a^+)$  [1]. При больших значениях  $n$  ( $n \rightarrow \infty$ ) эти столбцы разделяются на две пары с эквидистантными уровнями энергии, каждая из которых описывает классические легкие и тяжелые дырки.

Величина энергии на рис. 3 выражена в единицах  $\hbar eH/m_0 c$ . В такой системе единиц обратная разность собственных значений дает непосредственно величину эффективной массы перехода, т. е.

$$(m^*/m_0)_{n\varphi, n'\varphi'} = (E_{n\varphi} - E_{n'\varphi'})^{-1}, \quad (7)$$

где  $\varphi$  — индекс столбца собственных значений (рис. 3).

На рис. 2 сплошными линиями представлена рассчитанная угловая зависимость эффективных масс гармонических линий. Максимальное расхождение между рассчитанными и экспериментальными значениями эффективных масс не превышает величины 0.004. На этом же рисунке приведены результаты расчета угловой зависимости эффективных масс легких и тяжелых дырок, полученной с помощью формулы

$$m^* = \frac{\hbar^2}{\pi} \int_0^{\pi/2} \frac{d\varphi}{A \pm \{B^2 + 1/4C^2[1 + g(\varphi)]\}^{1/2}}, \quad (8)$$

в которой константы  $A, B$  и  $C$  определены с помощью (4), а функция  $g(\varphi)$  приведена в [7].

Полученные решения были использованы также для построения угловой зависимости эффективных масс разрешенных квантовых переходов. На рис. 4 приведена эта зависимость; там же приведены экспериментальные данные по квантовому ЦР в главных ориентациях, взятые из работ [3, 4].

*Обсуждение результатов.* Как видно из рис. 2, теоретические угловые зависимости эффективных масс квантовых гармонических и классических линий хорошо согласуются с экспериментальными данными, полученными в настоящей работе. Однако сопоставление теоретической угловой зависимости разрешенных квантовых переходов (рис. 4) с экспериментальной, полученной в работе [4] в ограниченном интервале углов, выявляет существенные расхождения для линий ЦР с большой эффективной массой ( $m^*/m_0 > 0.4$ ). Одна из таких линий, наблюдавшихся в [4], с  $m^*/m_0 = 0.42$  в ориентации [111] имеет необычную угловую зависимость и отнесена авторами [4] к линии квантового спектра. Мы рассчитали угловое положение этой линии, используя константы триады, определенные в [4], и не получили даже качественного согласия с экспериментом. Линии с подобной угловой зависимостью наблюдались также и в наших экспериментах (линии 8 и 9 на рис. 2). Большая интенсивность этих линий (по сравнению с квантовыми) и сильная асимметрия приводят к предположению, что данные линии принадлежат переходам между высоколежащими уровнями Ландау (классические линии), но сильно искажены  $k_H$ -эффектом. Аналогичную линию, по-види-

мому, наблюдали Хенсел и Сузуки в германии в ориентации [111] и отнесли ее к классической тяжелой дырке, смещенной  $k_H$ -эффектом [6]. Это предположение подтверждается также теоретическими расчетами смещения классических линий ЦР в зависимости от величины  $k_H$  [7, 8]. Линия 9 есть, по-видимому, вторая гармоника линии 8.

Для многих линий с  $m^*/m_0 > 0.45$ , исследованных в [4], наблюдается лишь качественное согласие с представленной на рис. 4 угловой зависимостью. Подобное расхождение теории с экспериментом трудно объяснить неточным определением констант триады или использованными приближениями. Хорошее согласие расчетных и экспериментальных данных по угловой зависимости квантовых гармонических переходов (рис. 2) показывает, что полученные нами константы  $\gamma_1$ ,  $\gamma_2$ ,  $\gamma_3$ , описывающие основное взаимодействие в кристалле, близки к истинным. Можно предположить, что указанное расхождение связано с экспериментальными трудностями снятия угловой зависимости и определения эффективных масс плохо разрешенных линий в спектре квантового ЦР. Поэтому для сопоставления с представленными на рис. 4 расчетами необходимы тщательные измерения угловой зависимости на очень чистых образцах в квантовых условиях  $\eta > 1$ . Данные, приведенные на рис. 4, могут быть использованы в подобных экспериментах для идентификации наблюденных квантовых линий ЦР.

#### Л и т е р а т у р а

- [1] Luttinger J. M. — Phys. Rev., 1956, v. 102, N 4, p. 1030—1041.
- [2] Goodman R. R. — Phys. Rev., 1961, v. 122, N 2, p. 397—405.
- [3] Stickler J. J., Zeiger H. J., Heller G. S. — Phys. Rev., 1962, v. 127, N 4, p. 1077—1084.
- [4] Owner-Peterson M., Samuelsen M. R. — Phys. St. Sol., 1968, v. 28, N 1, p. 211—222.
- [5] Suzuki K., Hensel J. C. — Phys. Rev. B, 1974, v. 9, N 10, p. 4184—4218.
- [6] Evtuhov V. — Phys. Rev., 1962, v. 125, N 6, p. 1869—1879.
- [7] Dresselhaus G., Kip A. F., Kittel G. — Phys. Rev., 1955, v. 98, N 2, p. 368—384.
- [8] Воеводин В. В. Вычислительные основы линейной алгебры. М., 1977. 303 с.
- [9] Zeiger H. J., Lax B., Dexter R. N. — Phys. Rev., 1957, v. 105, N 2, p. 495—501.

Московский институт  
тонкой химической технологии  
им. М. В. Ломоносова

Получена 16.12.1986  
Принята к печати 2.09.1987